#### Fri. Nov 5, 2021

#### Room C

Surface Science(SS2) Chemical Property

[3Ca01-12] SS2

座長:小板谷 貴典(自然科学研究機構分子科学研究所)、服部 卓磨 (大阪大学)

9:00 AM - 12:00 PM Room C (Takamatsu)

- [3Ca01] Investigation on the mechanism of LiOH hydration using near infrared spectroscopy

  \*masato takeuchi<sup>1</sup>, Ryo Kurosawa<sup>2</sup>, Junichi Ryu<sup>2</sup>,

  Masaya Matsuoka<sup>1</sup> (1. Osaka Prefecture University,

  2. Chiba University)

  9:00 AM 9:15 AM
- [3Ca02] Nuclear spin conversion of polyatomic molecules isolated in rare-gas condensed layers \*Hiroyuki Kawabe<sup>1</sup>, Ichiro Arakawa<sup>1</sup>, Koichiro Yamakawa<sup>2</sup> (1. Department of Physics, Gakushuin University, 2. Japan Atomic Energy Agency) 9:15 AM 9:30 AM
- [3CaO3] Theoretical model of hydrogen absorption via adsorption using 2-step reaction kinetics
  \*Taro Yakabe<sup>1</sup>, Gaku Imamura<sup>1</sup>, Genki Yoshikawa<sup>1</sup>,
  Naoya Miyauchi<sup>1</sup>, Masahiro Kitajima<sup>1</sup>, Akiko N
  Itakura<sup>1</sup> (1. National Institute for Materials
  Science)

9:30 AM - 9:45 AM

[3CaO4] Velocity dependence of spin polarization of spin-polarized atomic hydrogen beam

\*Hiroki Nakatsu<sup>1</sup>, Kouta Shimazaki<sup>1</sup>, Yuki Nagaya<sup>1</sup>,

Hirokazu Ueta<sup>2</sup>, Shohei Ogura<sup>3</sup>, Katsuyuki Fukutani<sup>1,2</sup>

(1. IIS Univ. of Tokyo, 2. JAEA-ASRC, 3. Tokyo Denki Univ.)

9:45 AM - 10:00 AM

- [3CaO5] Development of low energy H<sup>+</sup> ion gun toward evaluation of H<sup>+</sup> permeability of graphene \*tomoo terasawa<sup>1,2</sup>, Katsuyuki Fukutani<sup>1,2</sup>, Satoshi Yasuda<sup>1</sup>, Hidehito Asaoka<sup>1</sup> (1. ASRC, JAEA, 2. IIS, The University of Tokyo) 10:00 AM - 10:15 AM
- [その他] Break time

10:15 AM - 10:30 AM

[3CaO7] Surface chemistry of carbon dioxide on copper model catalysts studied by ambient-pressure X-ray photoelectron spectroscopy
\*takanori koitaya<sup>1,2</sup>, Susumu Yamamoto<sup>3,4</sup>, Iwao

Matsuda<sup>3</sup>, Jun Yoshinobu<sup>3</sup> (1. Institute for Molecular Science, National Institutes of Natural Sciences, 2. JST PRESTO, 3. The Institute for Solid State Physics (ISSP), The University of Tokyo, 4. International Center for Synchrotron Radiation Innovation Smart (SRIS), Tohoku University) 10:30 AM - 11:00 AM

[3Ca09] Unstable intermediate of methanol synthesis by CO<sub>2</sub> hydrogenation on Cu(111) surface
\*Ryusei Kojima<sup>1</sup>, Yasutaka Sawaki<sup>1</sup>, Kotaro
Takeyasu<sup>1</sup>, Takahiro Kondo<sup>1</sup>, Tadahiro Fujitani<sup>2</sup>, Junji
Nakamura<sup>1</sup> (1. University of Tsukuba, 2. National
Institute of Advanced Industrial Science and
Technology)

11:00 AM - 11:15 AM

- [3Ca10S] Formic acid synthesis by  ${\rm CO_2}$  hydrogenation using Pd nanocatalyst modified with  ${\rm GaO_X}$  \*Hiroto Hata<sup>1</sup>, Kohsuke Mori<sup>1,2</sup>, Hiromi Yamashita <sup>1,2</sup> (1. Graduate School of Engineering, Osaka University, 2. Elements Strategy Initiative for Catalysts and Batteries, Kyoto University) 11:15 AM 11:30 AM
- [3Ca11S] Role of missing-linker sites in Zr-MOF for photocatalytic hydrogen peroxide production \*Yoshifumi Kondo<sup>1</sup>, Yasutaka Kuwahara<sup>1,2,3</sup>, Kohsuke Mori<sup>1,2</sup>, Hiromi Yamashita<sup>1,2</sup> (1. Graduate School of Engineering, Osaka University, 2. Elements Strategy Initiative for Catalysts and Batteries, Kyoto University, 3. JST PRESTO) 11:30 AM 11:45 AM
- [3Ca12S] Nitrous oxide reduction at tin-modified platinum-palladium single crystalline electrodes

  \*JINHANG ZHENG<sup>1</sup>, MASARU KATO<sup>1,2</sup>, ICHIZO YAGI<sup>1,2</sup> (1. Graduate School of Environmental Science, Hokkaido University, 2. Faculty of Environmental Earth Science, Hokkaido University)

  11:45 AM 12:00 PM

Surface Science(SS2) Chemical Property

## [3Ca01-12] SS2

座長:小板谷 貴典(自然科学研究機構分子科学研究所)、服部 卓磨(大阪大学)

Fri. Nov 5, 2021 9:00 AM - 12:00 PM Room C (Takamatsu)

# [3Ca01] Investigation on the mechanism of LiOH hydration using near infrared spectroscopy

\*masato takeuchi<sup>1</sup>, Ryo Kurosawa<sup>2</sup>, Junichi Ryu<sup>2</sup>, Masaya Matsuoka<sup>1</sup> (1. Osaka Prefecture University, 2. Chiba University)

9:00 AM - 9:15 AM

# [3Ca02] Nuclear spin conversion of polyatomic molecules isolated in rare-gas condensed layers

\*Hiroyuki Kawabe<sup>1</sup>, Ichiro Arakawa<sup>1</sup>, Koichiro Yamakawa<sup>2</sup> (1. Department of Physics, Gakushuin University, 2. Japan Atomic Energy Agency)

9:15 AM - 9:30 AM

# [3Ca03] Theoretical model of hydrogen absorption via adsorption using 2-step reaction kinetics

\*Taro Yakabe<sup>1</sup>, Gaku Imamura<sup>1</sup>, Genki Yoshikawa<sup>1</sup>, Naoya Miyauchi<sup>1</sup>, Masahiro Kitajima<sup>1</sup>, Akiko N Itakura<sup>1</sup> (1. National Institute for Materials Science)

9:30 AM - 9:45 AM

# [3CaO4] Velocity dependence of spin polarization of spin-polarized atomic hydrogen beam

\*Hiroki Nakatsu<sup>1</sup>, Kouta Shimazaki<sup>1</sup>, Yuki Nagaya<sup>1</sup>, Hirokazu Ueta<sup>2</sup>, Shohei Ogura<sup>3</sup>, Katsuyuki Fukutani<sup>1,2</sup> (1. IIS Univ. of Tokyo, 2. JAEA-ASRC, 3. Tokyo Denki Univ.) 9:45 AM - 10:00 AM

# [3Ca05] Development of low energy H<sup>+</sup> ion gun toward evaluation of H<sup>+</sup> permeability of graphene

\*tomoo terasawa<sup>1,2</sup>, Katsuyuki Fukutani<sup>1,2</sup>, Satoshi Yasuda<sup>1</sup>, Hidehito Asaoka<sup>1</sup> (1. ASRC, JAEA, 2. IIS, The University of Tokyo) 10:00 AM - 10:15 AM

### [その他] Break time

10:15 AM - 10:30 AM

# [3Ca07] Surface chemistry of carbon dioxide on copper model catalysts studied by ambient-pressure X-ray photoelectron spectroscopy

\*takanori koitaya<sup>1,2</sup>, Susumu Yamamoto<sup>3,4</sup>, Iwao Matsuda<sup>3</sup>, Jun Yoshinobu<sup>3</sup> (1. Institute for Molecular Science, National Institutes of Natural Sciences, 2. JST PRESTO, 3. The Institute for Solid State Physics (ISSP), The University of Tokyo, 4. International Center for Synchrotron Radiation Innovation Smart (SRIS), Tohoku University)

10:30 AM - 11:00 AM

# [3Ca09] Unstable intermediate of methanol synthesis by CO<sub>2</sub> hydrogenation on Cu(111) surface

\*Ryusei Kojima<sup>1</sup>, Yasutaka Sawaki<sup>1</sup>, Kotaro Takeyasu<sup>1</sup>, Takahiro Kondo<sup>1</sup>, Tadahiro Fujitani<sup>2</sup>, Junji Nakamura<sup>1</sup> (1. University of Tsukuba, 2. National Institute of Advanced Industrial Science and Technology)

11:00 AM - 11:15 AM

[3Ca10S] Formic acid synthesis by  $CO_2$  hydrogenation using Pd nanocatalyst modified with  $GaO_x$ 

\*Hiroto Hata<sup>1</sup>, Kohsuke Mori<sup>1,2</sup>, Hiromi Yamashita <sup>1,2</sup> (1. Graduate School of Engineering, Osaka University, 2. Elements Strategy Initiative for Catalysts and Batteries, Kyoto University)

11:15 AM - 11:30 AM

[3Ca11S] Role of missing-linker sites in Zr-MOF for photocatalytic hydrogen peroxide production

\*Yoshifumi Kondo<sup>1</sup>, Yasutaka Kuwahara<sup>1,2,3</sup>, Kohsuke Mori<sup>1,2</sup>, Hiromi Yamashita<sup>1,2</sup> (1. Graduate School of Engineering, Osaka University, 2. Elements Strategy Initiative for Catalysts and Batteries, Kyoto University, 3. JST PRESTO)

11:30 AM - 11:45 AM

[3Ca12S] Nitrous oxide reduction at tin-modified platinum-palladium single crystalline electrodes

\*JINHANG ZHENG<sup>1</sup>, MASARU KATO<sup>1,2</sup>, ICHIZO YAGI<sup>1,2</sup> (1. Graduate School of Environmental Science, Hokkaido University, 2. Faculty of Environmental Earth Science, Hokkaido University)

11:45 AM - 12:00 PM

### 近赤外分光法による水酸化リチウム水和機構の検討

○竹内 雅人¹, 黒沢 涼², 劉 醇一², 松岡 雅也¹

1大阪府立大学大学院 工学研究科,2千葉大学大学院 工学研究院

#### Investigation on the mechanism of LiOH hydration using Near infrared spectroscopy

○Masato Takeuchi<sup>1</sup>, Ryo Kurosawa<sup>2</sup>, Junichi Ryu<sup>2</sup>, and Masaya Matsuoka<sup>1</sup>

<sup>1</sup>Osaka Prefecture University, <sup>2</sup>Chiba University

#### 1. はじめに

Mg(OH)₂ の脱水および MgO の水和反応を利用した 化学蓄熱材料が研究されている。Mg(OH)₂ は約 370℃ で脱水反応が進行するが、Mg(OH)₂ に種々の Li 化合物 を担持すると、脱水温度が 250~300℃まで低温化する ¹.²)。筆者らはこれまで、中赤外および近赤外分光法を 用いて、Mg(OH)₂ の脱水および MgO の水和機構およ び Li 化合物の添加効果について報告してきた ³,⁴)。本 研究では、近赤外分光法を用いて、水酸化リチウムの 水和状態の違いに基づく構造変化、水和機構について 考察した。

#### 2. 実験項

水酸化リチウム一水和物 (LiOH·H<sub>2</sub>O) および無水物 (LiOH) は、それぞれナカライテスク、東京化成より 購入した。水和水を含まない水酸化リチウムは、上記の LiOH を 150℃で 24 h 乾燥することで得た。この LiOH (無水物) を室温(相対湿度 60%)で静置し、水和する過程の NIR スペクトルを測定した。測定には、近赤外測定用にカスタマイズした FT-NIR 分光光度計(FT/IR-4700 日本分光)を用いた。

#### 3. 結果と考察

Fig. 1 には、LiOH· $H_2O$  および LiOH の NIR スペクトルを示す。(a) LiOH· $H_2O$  (as-received)では、7137 cm<sup>-1</sup> と 6970 cm<sup>-1</sup> に吸収が観測され、前者は LiOH· $H_2O$  層間の OH-、後者は結晶水に帰属できる。(b) LiOH (as-received) では、LiOH 表面の OH-、および層間の OH-に基づく 吸収がそれぞれ 7340 cm<sup>-1</sup> と 7171 cm<sup>-1</sup> に観測されたのに加え、一水和物に基づく吸収(7137 cm<sup>-1</sup> と 6970 cm<sup>-1</sup>) が観測された。この結果は、未開封の試薬を開封した直後でも、 $10\sim20\%$ の一水和物が混入していることを示唆している。この LiOH (as-received)を 150℃で乾

燥させた試料のスペクトル(c)では、一水和物に基づく吸収が消失し、無水物に基づく吸収のみが観測された。これらの知見に基づき、LiOH (無水物)が水和する過程の NIR スペクトルを測定し、その水和機構を考察したところ、LiOH 層間の OHの水和は二次反応に従うのに対し、表面 OHの水和は二次反応では解析できなかった。これらの詳細について報告する。

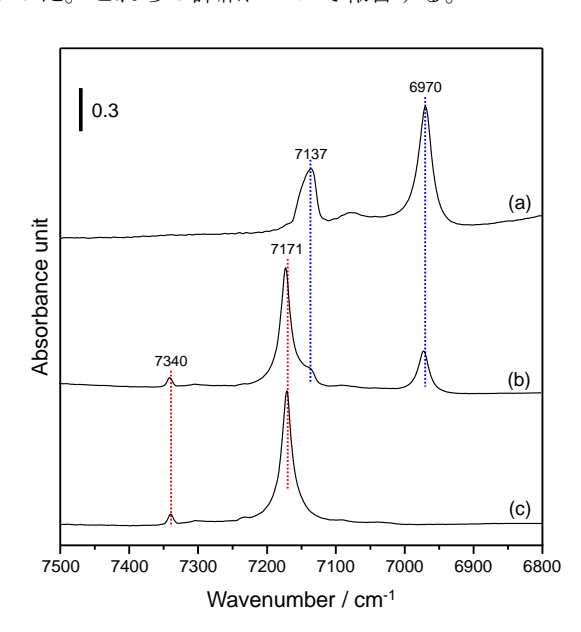


Fig. 1 NIR spectra of (a) LiOH·H<sub>2</sub>O (as-received), (b) LiOH (as-received), and (c) LiOH after drying at 150 °C for 24 h.

- 1) H. Ishitobi, K. Uruma, M. Takeuchi, J. Ryu, Y. Kato, *Appl. Therm. Eng.*, **50**, 1639–1644 (2013).
- 2) R. Kurosawa, M. Takeuchi, J. Ryu, ACS Omega, 4, 17752–17761 (2019).
- 3) R. Kurosawa, M. Takeuchi, J. Ryu, *J. Phys. Chem. C*, **125**, 5559–5571 (2021).
- 4) A. Kondo, R. Kurosawa, J. Ryu, M. Matsuoka, M. Takeuchi, *J. Phys. Chem. C*, **125**, 10937–10947 (2021).

<sup>\*</sup>E-mail: masato-t@chem.osakafu-u.ac.jp

### 希ガス凝縮層中に分離した多原子分子の核スピン転換

○川邉 裕之 1\*, 荒川 一郎 1, 山川 紘一郎 2

1学習院大学理学部,2日本原子力研究開発機構

#### Nuclear spin conversion of polyatomic molecules isolated in rare-gas condensed layers

OHiroyuki Kawabe<sup>1\*</sup>, Ichiro Arakawa<sup>1</sup>, and Koichiro Yamakawa<sup>2</sup>

<sup>1</sup>Department of Physics, Gakushuin University, <sup>2</sup>Japan Atomic Energy Agency

#### 1. はじめに

スピン 1/2 の水素原子核(陽子)を等価位置に有する 分子には、合成スピン I の値によって分類される核ス ピン異性体が存在する. これら異性体間の変換は核ス ピン転換と呼ばれ、その機構に関心が持たれてきた.12 各異性体は特定の回転状態と結びつくため、振動回転 分光法を用いて核スピン転換が観測可能である. 凝縮 系における核スピン転換は、H<sub>2</sub>O、NH<sub>3</sub>、CH<sub>4</sub>など様々 な分子を対象に研究されてきた. NH<sub>3</sub> は, パラ(I =1/2), オルソ(I=3/2)の2種類の異性体を有し, 反転運 動が転換に及ぼす影響について興味が持たれている.4 つの水素原子核を持つ $CH_4$ には、パラ(I=0)、オルソ (I=1), メタ(I=2)の3種類の異性体が存在し、それ らの転換過程は十分明らかになっていない. 本研究で は、希ガス凝縮層内に分離した CH4と NH3の核スピン 転換速度を赤外吸収分光法で測定し, 転換機構を調べ た.

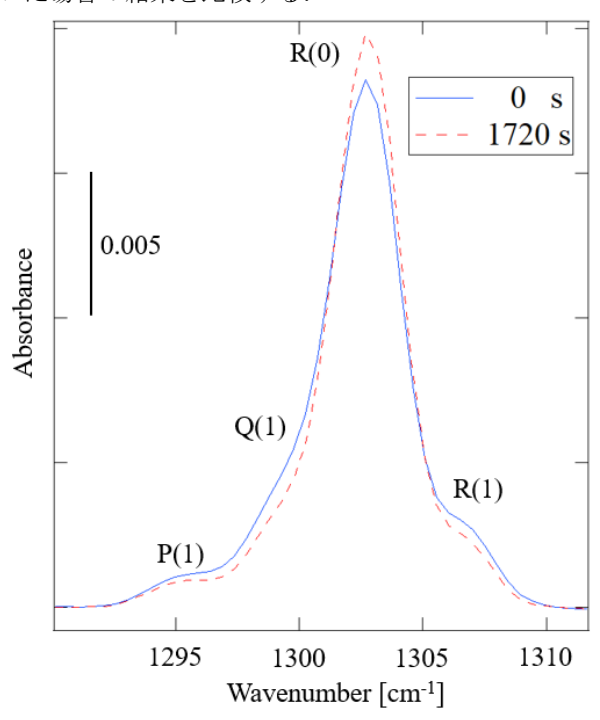
#### 2. 実験方法

実験装置は真空容器,フーリエ変換赤外分光計,HgCdTe 検出器,気体導入系からなる.真空容器内の到達圧力は  $1\times10^7$  Pa である.測定気体  $X(=CH_4)$  or  $NH_3$ )と希ガス  $RG(=Ar\ or\ Kr)$ を分圧比 RG/X=1000 で混合し,9.5 K に冷却した試料室内の Au 基板上に凝縮した.30 K の平衡分布から 9.5 K の分布への転換過程を見るため,試料を 30 K で 3 分間アニールした後に再冷却し,赤外吸収スペクトルの時間変化を測定した.

#### 3. 実験結果

Kr 凝縮層中に分離した  $CH_4$  の  $v_4$  振動領域における 赤外吸収スペクトルの時間変化を Fig. 1 に示す. 吸収 バンドは振動回転構造を有しており, 低波数側からそれぞれ P(1), Q(1), R(0), R(1)遷移に対応している.  $^3$ 

時間経過と共に、R(0)の強度が増加する一方でP(1)、Q(1)、R(1)の強度が減少しており、これはオルソからメタへの核スピン転換に由来する. 積分強度の時間変化を指数関数によりフィッテイングしたところ、転換速度  $k=2.1\times10^3$  s<sup>-1</sup> を得た. 本発表では、 $CH_4$  と  $NH_3$  の核スピン転換速度を議論すると共に、Ar と Kr を用いた場合の結果を比較する.



**Fig. 1.** Kr凝縮層中に分離した CH<sub>4</sub>の赤外吸収スペクトルの時間変化. 基板温度は 9.5 K.

- 1) S. Buchman et al., Phys. Rev. B 26, 1459 (1982).
- 2) S. Grieger et al., Z. Phys. B, 87 203 (2015).
- 3) T. Sugimoto et al., Eur. Phys. J. D 72, 42 (2018).

<sup>\*</sup>E-mail: 20141004@gakushuin.ac.jp

### 水素の吸着・吸蔵現象の反応速度論を用いた理論モデル

○矢ヶ部太郎 1\* 今村岳 2 吉川元起 3, 宮内直弥 1, 北島正弘 1, 板倉明子 1

<sup>1</sup> 先端材料解析研究拠点 物質材料研究機構, <sup>2</sup> 国際ナノアーキテクトニクス研究拠点 物質材料研究機構 <sup>3</sup> センサ・アクチュエータ研究開発センター 物質材料研究機構

#### Theoretical model of hydrogen absorption via adsorption using 2-step reaction kinetics

○Taro Yakabe¹, Gaku Imamura², Genki Yoshikawa³, Naoya Miyauchi¹, Masahiro Kitajima¹, and Akiko N. Itakura¹

<sup>1</sup>Research Center for Advanced Measurement and Characterization, National Institute for Materials Science, <sup>2</sup>International Center for Materials Nanoarchitectonics, National Institute for Materials Science, <sup>3</sup>Center for Functional Sensor & Actuator, National Institute for Materials Science

#### 1. はじめに

水素は最も小さな元素であり、金属などの固体中に容易に入り込むことが可能である。水素の吸蔵現象は主にジーベルツ則により評価されるが、理論値に合わない場合も多くみられる。その理由の一つは、ジーベルツ則が低濃度の場合に成り立つ近似式であるからである。ジーベルツ則は Fowler and Smithells[1]とLacher[2]によって発表された水素の溶解度理論の近似として導くことができる。しかしながら、この理論は熱統計力学の深い知識が必要で使われることが多くないのが現状である。

#### 2. 実験および理論

今回、我々は膜型表面応力センサ (Membrane Surface Stress sensor, MSS) を用いて単体の Pd およびアモルファス Pd 合金の水素吸蔵過程を調べた。その際、水素濃度に対するモルファス Pd 合金への水素吸蔵量の関係 (Fig. 1)、そして水素濃度に対する単体 Pd の吸蔵速度について調べると、ジーベルツ則に従わず、むしろラングミュア則となることを見出した。また、我々はこの吸着を経た吸蔵過程について反応速度論を用いた理論モデル作り、その理論によりこれらの関係が良く説明できることがわかった。また、この理論は①ジーベルツ則および溶解度理論と同じ結果を導き出すことができること、②吸着反応が吸蔵反応に対して早い場合は吸蔵速度がラングミュア則に従うことを理論的に説明することが可能である。[3,4]

#### 3. まとめ

\*E-mail: yakabe.taro@nims.go.jp

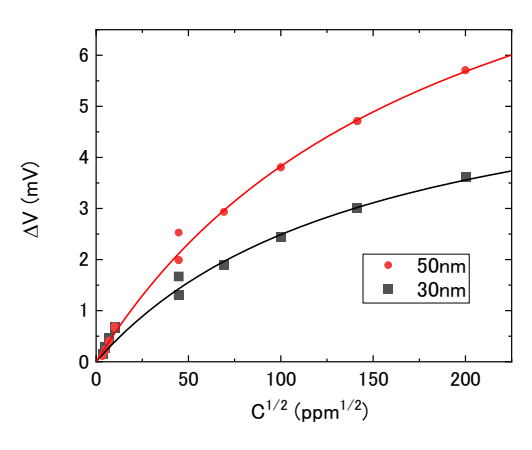


Fig. 1. 水素濃度の平方根と水素吸蔵量に対応する応力変化の関係

今回得られた理論的取り扱いは、表面の効果の大きい微粒子や非常に薄い膜において有用だと考えられる。近年、二酸化炭素排出量規制などの環境問題の深刻化とともに水素研究への期待は高まってきている。この理論はナノテクノロジーを用いた水素研究などに役立つのではと期待している。

- [1] Fowler, R. H. & Smithells, C. J. A, Proc. R. Soc. Lond. Ser. A Math. Phys. Sci. 160, 37 (1937).
- [2] Lacher, J. R., Proc. R. Soc. Lond. Ser. A Math. Phys. Sci. 161, 525 (1937).
- [3] Yakabe, T., Imamura, G., Yoshikawa, G., Kitajima, M., Itakura, A. N., J. Phys. Commun. 4, 025005 (2020).
- [4] Yakabe T., Imamura G., Yoshikawa G., Miyauchi N., Kitajima M., Itakura A.N., Sci. Rep. (2021) accepted.

### スピン偏極水素原子ビームにおける偏極度の速度依存性

○中津裕貴 <sup>1\*</sup>, 島崎紘太 <sup>1</sup>, 長屋勇輝 <sup>1</sup>, 植田寛和 <sup>2</sup>, 小倉正平 <sup>3</sup>, 福谷克之 <sup>1,2</sup> <sup>1</sup>東京大学生産研究所, <sup>2</sup>原子力機構先端研, <sup>3</sup>東京電機大学

#### Velocity dependence of spin polarization of spin-polarized atomic hydrogen beam

○Hiroki Nakatsu¹, Kouta Shimazaki¹, Yuki Nagaya¹, Hirokazu Ueta², Shohei Ogura³, Katsuyuki Fukutani¹.²¹IIS Univ. of Tokyo, ²JAEA-ASRC, ³Tokyo Denki Univ.

水素原子は1つの電子と1つの陽子から構成されており、ゼロ磁場下ではスピン一重項、及びスピン三 重項の状態で存在するが、磁場の下ではその縮退が解ける. 六極磁石を用いることで、水素原子の電子スピン状態のうちの1つを選択的に分離することができる. 本研究の目的は、スピン偏極水素原子ビームを開発し、表面科学分野の研究に応用することである.

図1に実験装置の概略図を示す.マイクロ波放電により水素分子を原子へと解離し、チョッパーにより水素原子ビームのパルス化を行った.六極磁石によりアップスピン状態の水素原子のみ収束し、スピン偏極したビームを生成した.スピン偏極度は、水素原子ビームをスピンに応じて空間的に分離するシュテルンーゲルラッハ(SG)磁石を用いて測定した.水素原子の検出には(2+1)過程の多光子共鳴イオン化法(REMPI)を用いる.六極磁石の焦点距離は水素原子の速度に依存するため、チョッパーとREMPIレーザーの遅延時間を制御することで水素原子の速度を選択して測定を行った.

図 2 に SG 通過後の各速度におけるビームプロファイルを示す.速度に応じてアップスピン状態の収束度、ダウンスピンの発散度が異なるため形状の異なるビームプロファイルが得られた. 図 3 にこの測定系における速度 v=2400~m/s の水素原子ビームの軌道計算を示す[1]. 軌道計算を各速度において行った結果、測定結果の傾向と一致した. また、軌道計算を行いアパチャーの大きさを最適化しセンターストップを取り付けることで、ビーム強度の低下を抑えた上でスピン偏極水素原子ビームのスピン偏極度を約 100 %にできることがわかった.

\*E-mail: nakatsu8@iis.u-tokyo.ac.jp

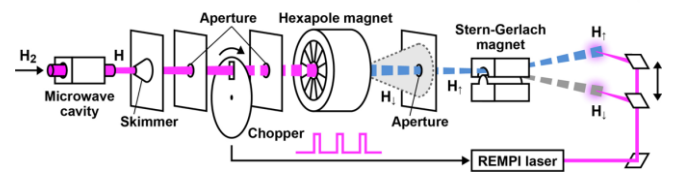


Fig. 1. 測定系の概略図

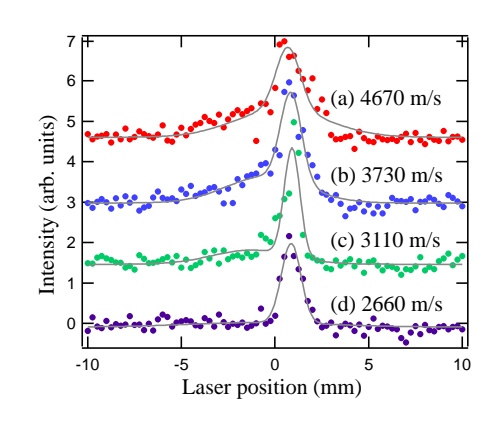


Fig. 2. SG 通過後の各速度のビームプロファイル

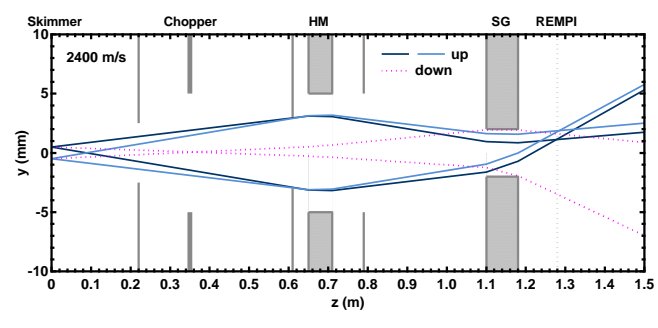


Fig. 3. 水素原子のスピン選別の軌道計算

#### 文 献

[1] S. Ogura et al., J. Vac. Soc. Jpn 54, 192 (2011).

### グラフェンの H+透過能評価に向けた低速 H+照射装置の開発

〇寺澤 知潮  $^{1,2*}$ , 福谷 克之  $^{1,2}$ , 保田 諭  $^{1}$ , 朝岡 秀人  $^{1}$ 

1日本原子力研究開発機構先端基礎研究センター, 2東京大学生産技術研究所

#### Development of Low Energy H<sup>+</sup> Ion Gun toward Evaluation of H<sup>+</sup> Permeability of Graphene

○Tomoo Terasawa<sup>1,2\*</sup>, Katsuyuki Fukutani<sup>1,2</sup>, Satoshi Yasuda<sup>1</sup>, and Hidehito Asaoka<sup>1</sup>

<sup>1</sup>ASRC, JAEA, <sup>2</sup>IIS, The University of Tokyo

#### 1. 序論

炭素原子のハニカム格子からなるグラフェンは気体分子やイオンに対して不透過性を示す 1)。一方で水素イオンであればグラフェンを透過できること、透過の際には H+が D+に比べて透過しやすいという同位体効果が報告されてきた 2)。しかし、これまでの研究は主に水またはプロトン伝導膜中のグラフェンに対して水素イオンを電気的にドリフトさせて透過させており、グラフェンのみの透過能を評価したとは言い難い。このため水素イオン透過の反応機構は未解明である。

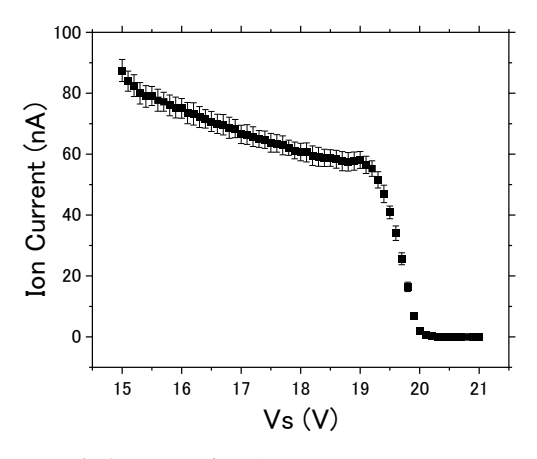
真空中での水素イオン照射であればグラフェンの水素イオン透過能を直接計測し機構を解明できると期待できる。このとき、水素イオンの透過について 1eV 程度のエネルギー障壁が報告されているため 2)、〈1eV のエネルギー分解能( $\triangle$ E)を持つイオン照射が必要とされる。水素イオンのエネルギー分解能 $\triangle$ E を小さくするためには、運動エネルギーE および装置によって決まる $\triangle$ E/E を小さくする必要がある。しかし、低速の水素原子( $^{^{^{\prime}}}1$  eV)もしくは B や N のイオン( $^{^{\prime}}$ 20 eV) の照射は前例があるものの 3,4)、低速そしてエネルギー分解した水素イオンを真空中でグラフェンに照射する研究は報告がなかった。

そこで本研究ではグラフェンの水素イオン透過能の評価のため、静電半球形のモノクロメータを用いた超低速の水素イオン照射装置を開発し、 E<1 eV の水素イオンをグラフェンに照射することを目的とした。

#### 2. 結果と考察

電子衝撃型のイオン銃によって生じた水素イオンが 静電半球型のモノクロメータ、イオンの質量分離を行 う Wien 型のフィルタ、イオンレンズ、試料ステージを 経てマイクロチャンネルプレート (MCP) へと到達する 装置を作成した。





**Fig. 1**. 試料ステージ(電位 Vs)を通過して MCP に到達したイオンのイオン電流の Vs 依存性。

 $5\times10^{-7}$  Pa の真空槽に  $2\times10^{-2}$  Pa の水素ガスを供給して実験を行った。静電半球型のモノクロメータを通過するイオンの運動エネルギーを 20 eV とした時、試料ステージ電位 Vs を走査した際のMCPで取得したイオン電流 I を Fig. 1 に示す。試料ステージ電位=19.7 V を中心に急峻にイオン電流が低下した。これにより  $E^20$  eV のイオンの選別に成功したと言える。また、dI/dV をガウス関数でフィットしイオンの運動エネルギーの半値幅は 0.5 eV 程度と見積もられた。これは、 $\triangle$ E<1 eV のイオンビームが得られたことを示唆する。

Fig. 1 では  $H_2$ 分子の電子衝撃型のイオン化における 主成分である  $H_2$ <sup>†</sup>を Wien フィルタによって選別した。 Wienフィルタを用いたH<sup>†</sup>の分離およびH<sup>†</sup>イオンビーム のエネルギー分解能については当日議論する。

- 1) J. S. Bunch, et al., Nano Lett. 8, 2458 (2008).
- 2) M. Lozada-Hidalgo, et al., Science 351, 68 (2016).
- 3) H. Jiang, et al., Science **364**, 379 (2019).
- 4) P. Willke, et al., Nano Lett. **15**, 5110 (2015).

10:15 AM - 10:30 AM (Fri. Nov 5, 2021 9:00 AM - 12:00 PM Room C)

# [その他] Break time

# 雰囲気光電子分光法による銅モデル触媒における二酸化炭素の表面反応の 観測

〇小板谷 貴典  $^{1,2*}$ , 山本 達  $^{3,4}$ , 松田 巖  $^{3}$ , 吉信  $^{3}$ 

1分子科学研究所, <sup>2</sup>JST さきがけ, <sup>3</sup>東京大学物性研究所, <sup>4</sup>東北大学国際放射光イノベーション・スマート研究センター

# Surface Chemistry of Carbon Dioxide on Copper Model Catalysts Studied by Ambient-Pressure X-ray Photoelectron Spectroscopy<sup>1)</sup>

○Takanori Koitaya<sup>1,2\*</sup>, Susumu Yamamoto<sup>3,4</sup>, Iwao Matsuda<sup>3</sup> and Jun Yoshinobu<sup>3</sup>

<sup>1</sup>Institute for Molecular Science, <sup>2</sup>JST PRESTO, <sup>3</sup>ISSP, The University of Tokyo, <sup>4</sup>SRIS, Tohoku University

実際に反応が起こっている条件下で不均一触媒表面の分光測定(オペランド観測<sup>2)</sup>)を行うことにより、触媒反応機構の解明につながる直接的かつ重要な知見が得られると期待される。数あるオペランド観測手法の中で、気相雰囲気中で測定を行う雰囲気光電子分光(Ambient-pressure XPS; AP-XPS)は、触媒表面および表面吸着種の化学状態の検出や、元素選択的に定量評価が可能といった特徴を有し、近年世界各地の研究機関および高輝度放射光施設に導入されている。<sup>3)</sup>

我々は放射光施設 SPring-8 高輝度軟 X 線ビームライン BL07LSU において軟 X 線雰囲気光電子分光システムを立ち上げ、さまざまなモデル触媒や実用材料のオペランド観測を行っている。<sup>1),4)-10)</sup> 本講演では研究の一例として、単結晶銅表面をモデル触媒とした二酸化炭素の活性化および水素化の雰囲気光電子分光測定結果を紹介するとともに、<sup>1),4),5)</sup> 雰囲気光電子分光法の特徴や装置の詳細、および今後の研究の展望に関しても議論する。

- 1) T. Koitaya, S. Yamamoto, I. Matsuda, and J. Yoshinobu, e-J. Surf. Sci. Nanotechnol. 17, 169 (2019).
- 2) M. A. Bañares, Catal. Today. 100, 71 (2005).
- 3) J. Schnadt, J. Knudsen and N. Johansson, J. Phys.: Condens. Matter. 32, 413003 (2020).
- 4) T. Koitaya et al., Top. Catal. **59**, 526 (2016).
- 5) T. Koitaya et al., ACS Catal. 9, 4539 (2019).
- 6) S. Yamamoto et al., Phys. Chem. Chem. Phys. 20, 19532 (2018).
- 7) J. Tang et al., Appl. Surf. Sci. 463, 1161 (2019).
- 8) J. Tang et al., Appl. Surf. Sci. 480, 419 (2019).
- 9) M. Sato et al., J. Phys. Chem. C 124, 12466 (2020).
- 10) Y. Imazeki et al., J. Phys. Chem. C 125, 9011 (2021).

<sup>\*</sup>E-mail: koitaya@ims.ac.jp

## Cu(111)表面上での CO2 水素化によるメタノール合成の不安定中間体

○小島 隆聖¹, 澤樹 保隆¹, 武安 光太郎¹, 近藤 剛弘¹, 藤谷 忠博², 中村 潤児¹\*

1筑波大学, 2產業技術総合研究所

#### Unstable intermediate of methanol synthesis by CO<sub>2</sub> hydrogenation on Cu(111) surface

○Ryusei Kojima¹, Yasutaka Sawaki¹, Kotaro Takeyasu¹, Takahiro Kondo¹, Tadahiro Fujitani², and Junji Nakamura¹\*

<sup>1</sup>University of Tsukuba, <sup>2</sup>National Institute of Advanced Industrial Science and Technology

#### 1. はじめに

Cu 系触媒は CO2 水素化によるメタノール合成に対して高い触媒活性を示すことが知られているが、この反応における不安定中間体を実験的に検出することが困難であるため、触媒上の詳細な反応メカニズムは明らかにされていない. これまでの研究によって、CO2 水素化によって生成される最初の反応中間体が400-450 K まで安定なフォルメート種(HCOOa)であることは分かっているり. 本研究の目的は、Cu(111)上にて原子状水素を用いた低温下(200-300 K)でのフォルメート水素化を行い、そこで形成された不安定中間体のキネティクス測定に基づいてメタノール合成の反応メカニズムを解明することである.

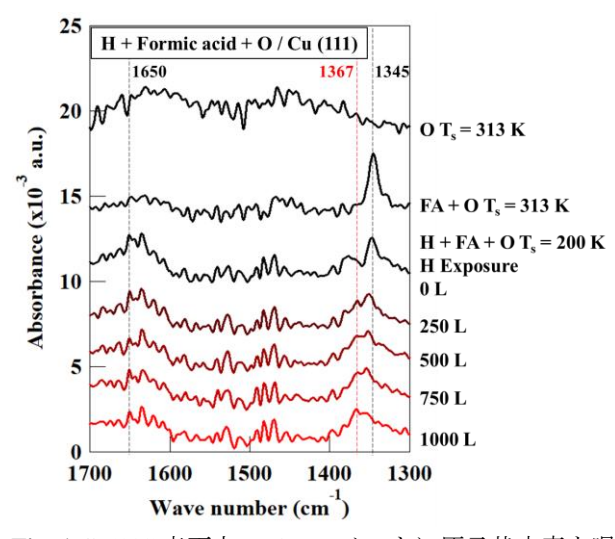
#### 2. 実験

まず,表面温度 313 K の清浄な Cu(111)表面にギ酸をフォルメートとして解離吸着させた. その後,表面温度を200 K まで下げ,原子状水素を曝露した.清浄なCu(111)表面及び各試料ガス曝露後の表面に対して赤外反射吸収分光(IRAS)測定を行い,波数ごとの反射強度の増減を観測することで,表面上の吸着種の生成や分解を解析した. また,原子状水素の曝露後,昇温脱離(TPD)測定によって脱離した分子を観測し,表面上での反応物を同定した.以上の結果と DFT 計算を使用し,Cu表面での CO2 水素化によるメタノール合成のポテンシャルダイアグラムを作成した.

#### 3. 結果と考察

表面温度 313 K の Cu(111)表面に酸素, ギ酸各 500 L を曝露してフォルメートを生成した後, 表面温度を 200 K に低下させ, 原子状水素  $1000 \text{ L}(1.0 \times 10^{-6} \text{ Torr} \times 10^{-6} \text{ Torr})$ 

1000 s)を曝露した(Fig. 1). その結果,1345 cm<sup>-1</sup> と 1650 cm<sup>-1</sup> に,それぞれバイデンテートフォルメートとモノデンテートテートフォルメート由来のピークを観測した.続いて原子状水素を曝露すると,これらのピーク面積は減少した.一方で,1367 cm<sup>-1</sup> に新たなピークが発現し,水素を曝露していくとその強度が増加した.このピークは表面温度 250 K における水素化では発現しておらず,フォルメートの水素化により生成したジオキシメチレン( $H_2CO_{2a}$ )によるピークと考えられる.また,原子状水素の曝露後に TPD 測定を行った結果,243 K 付近にホルムアルデヒド(HCHO)とみられるピークが現れた  $^{20}$ .



**Fig. 1** Cu(111)表面上のフォルメートに原子状水素を曝露したときの IRAS スペクトル変化(表面温度 200 K)

#### 文 献

- 1) J. Nakamura, T. Fujitani, et al. Topics in Catal. 22, 277 (2003)
- 2) M. Bowker, & R. J. Madix, Surf. Sci, 102, 542 (1981).

\*E-mail: nakamura@ims.tsukuba.ac.jp

### GaOx修飾 Pd ナノ粒子触媒を用いた CO2の水素化によるギ酸合成

○畑 拓仁 $^{1}$ , 森 浩亮 $^{1,2*}$ , 山下 弘巳 $^{1,2}$ 

1大阪大学大学院工学研究科, 2京都大学触媒電池元素戦略拠点

#### Formic acid synthesis by CO<sub>2</sub> hydrogenation using Pd nanocatalyst modified with GaO<sub>X</sub>

OHiroto Hata<sup>1</sup>, Kohsuke Mori<sup>1,2\*</sup> and Hiromi Yamashita<sup>1,2</sup>

<sup>1</sup>Graduate School of Engineering, Osaka University, <sup>2</sup>Elements Strategy Initiative for Catalysts and Batteries Kyoto University

#### 1. 緒言

ギ酸は常温常圧において液体であり、比較的水素含有量が大きい(4.4wt%)ことから水素輸送キャリアとして注目されている。ギ酸を水素輸送キャリアとして用いるためには、 $CO_2$  からのギ酸合成反応を高効率で進行させる手法の確立が必要である。本反応系においては、Pd 系合金ナノ粒子触媒が有効であり、 $PdAg/TiO_2$  触媒が高活性を示すことを報告している  $^{1)}$ 。本触媒では Pd と Ag の電気陰性度の差に起因する電子リッチな Pd と電子プアな Ag の生成が活性向上の要因とされている。そこで、本研究では Pd との電気陰性度の差がより大きな第 13 族元素(Ga, Al, B)に注目し、新規不均一系触媒の開発を試みた。

#### 2. 実験

担体としては Melamine を大気中、550℃で焼成することで合成した g- $C_3N_4$ を用いた。合成した g- $C_3N_4$ 上に Pd 前駆体および各種第 13 族元素前駆体を含浸担持したのち、 $NaBH_4$  を用いた化学還元を行うことで PdM/g- $C_3N_4$ (M=Ga, Al, B)を調製した。触媒のキャラクタリゼーションとして、HAADF-STEM 観察、XAFS測定等を行った。

ギ酸合成反応には、反応容器としてオートクレーブを用い、触媒 10mg、 $H_2$ および  $CO_2$ ガス各 1MPa、1Mの  $NaHCO_3$ 水溶液を封入して  $100^{\circ}$ で撹拌することで行った。生成したギ酸の定量には高速液体クロマトグラフィーを用い、TON を用いて活性を比較した。

#### 3. 結果と考察

PdGa/g-C<sub>3</sub>N<sub>4</sub> 触媒の HAADF-STEM 観察から高分散に担持された Pd ナノ粒子を確認した。また、XAFS 測定および EDX マッピングから Ga は Pd 粒子上に Ga 酸化物クラスター状態で存在することが確認された。Ga 酸化物クラスターの存在により、Pd 電荷の不均衡

文 献

K. Mori, T. Sano, and H. Yamashita, *J. Am. Chem. Soc.*, 2018, **140**, 8902

が生じていることが DFT 計算から示唆された。(Fig.1) ギ酸合成反応においては第 13 族元素の添加により 触媒活性の向上が確認され、最も活性が向上した  $PdGa/g-C_3N_4$  触媒では露出 Pd 当たりの活性が添加前と比べておよそ 10 倍に向上した。(Fig.2)

活性向上の要因として、電子リッチな Pd により水素開裂ステップが、電子プアな Pd により  $HCO_3$  の吸着ステップが、両者の相互作用により  $HCO_3$  の水素化ステップがそれぞれ促進されていることが  $H_2$ - $D_2$  交換反応等の実験的考察および DFT 計算から確かめられた。

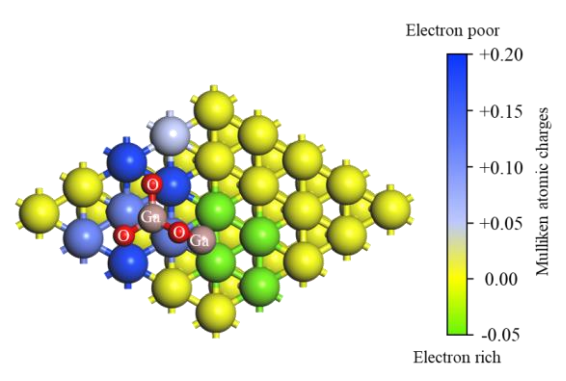


Fig.1 Pd 電荷密度解析

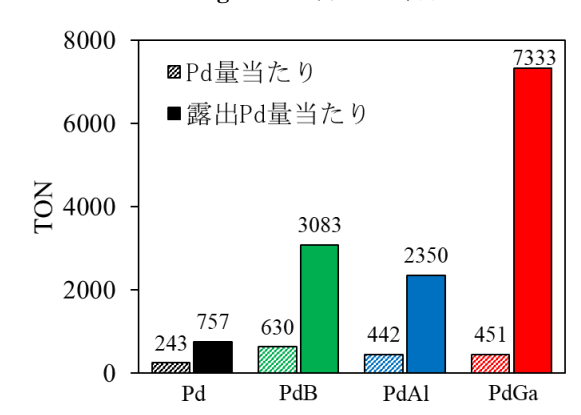


Fig.2 第 13 族元素添加の影響

<sup>\*</sup>E-mail: mori@mat.eng.osaka-u.ac.jp

### 光触媒的過酸化水素生成反応における Zr-MOF のリンカー欠陥サイトの役割

○近藤 吉史¹, 桑原 泰隆¹,2,3, 森 浩亮¹,2, 山下 弘巳¹,2\*

<sup>1</sup>大阪大学大学院工学研究科, <sup>2</sup>京都大学触媒電池元素戦略拠点, <sup>3</sup>JST さきがけ

#### Role of missing-linker sites in Zr-MOF for photocatalytic hydrogen peroxide production

○ Yoshifumi Kondo¹, Yasutaka Kuwahara¹,²,³, Kohsuke Mori¹,² and Hiromi Yamashita¹,²\*

<sup>1</sup>Graduate School of Engineering, Osaka University, <sup>2</sup>Elements Strategy Initiative for Catalysts and Batteries, Kyoto University, <sup>3</sup>JST PRESTO

#### 1. 緒言

過酸化水素( $H_2O_2$ )は環境にやさしい酸化剤であるだけでなく、1 室型燃料電池の燃料として利用できることから、近年注目を集めている。我々はこれまでにMOFを光触媒として用いた酸素還元による $H_2O_2$ 生成系を報告している  $^1$ 。 $^2$  Zr-MOF(UiO-66-NH $_2$ )は、既報のMOF よりも構造安定性に優れているが、リンカーからクラスターへの電子移動(LCCT)が生じにくいため光触媒活性が低いことで知られている。そこで、LCCTが促進されることが報告されているリンカーが外れた欠陥サイトの missing-linker サイトに着目した  $^2$  。本研究では、missing-linker サイトを導入した UiO-66-NH $_2$ の調製と光触媒的  $H_2O_2$ 生成反応への応用を試みた。

#### 2. 実験

UiO-66-NH<sub>2</sub>は、塩化ジルコニウムと 2-アミノテレフタル酸を少量の水を添加した *N,N*-ジメチルホルムアミドに加え、120℃で 24 時間ソルボサーマル合成を行うことで調製した。また、ソルボサーマル合成時に既定量の酢酸を添加することにより、missing-linker サイトを導入した UiO-66-NH<sub>2</sub>(UiO-66-NH<sub>2</sub>-X)を調製した。

得られた触媒の欠陥量は熱重量分析と $^{1}$ H-NMR測定により算出した。光触媒反応はベンジルアルコールを電子源とした酸素飽和アセトニトリル溶液中、光 $(\lambda > 350 \text{ nm})$ 照射下での $H_{2}O_{2}$ 生成反応により評価した。MOFの疎水性の評価として、室温での水吸着測定を行った。

#### 3. 結果·考察

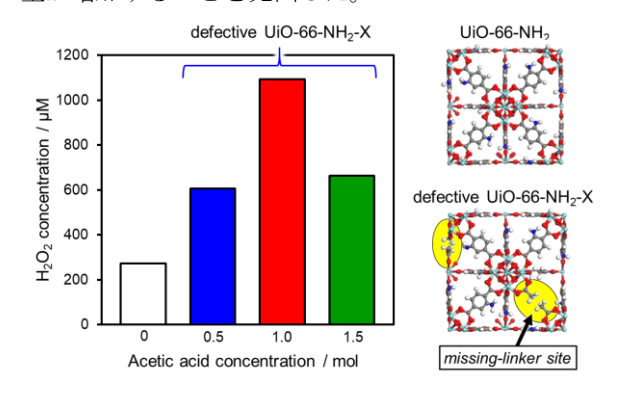
熱重量分析と <sup>1</sup>H-NMR 測定の結果より、酢酸添加量が増加するにつれて、Zr-MOF 内の欠陥量が増加していることが分かった。

各試料での  $H_2O_2$  生成量の比較を行ったところ、

\*E-mail: yamashita@mat.eng.osaka-.ac.jp

UiO-66-NH<sub>2</sub>-1.0 において  $H_2O_2$ 生成量が最も高く、従来の UiO-66-NH<sub>2</sub>を用いた場合の約 4 倍に向上した(Fig. 1)。UiO-66-NH<sub>2</sub>-1.0 を用いた場合、酸化生成物であるベンズアルデヒドの生成量も UiO-66-NH<sub>2</sub> と比較して大幅に増加していた。すなわち、missing-linker の導入により触媒系の反応速度が促進されたと考えられる。暗所下での  $H_2O_2$  分解反応を行ったところ、欠陥量が増加するにつれて  $H_2O_2$  の分解が抑制されていることが分かった。水吸着測定より、欠陥サイトの増加とともに MOF の疎水性が向上していることが示唆されていることを踏まえると、MOF の疎水性の向上により、 $H_2O_2$  と MOF が分離されやすくなったため、 $H_2O_2$  の分解が抑制されたと推察される。

以上の結果より、UiO-66- $NH_2$  への酢酸を用いた missing-linker サイトの導入によって、触媒系の反応速度の促進だけでなく、 $H_2O_2$  分解抑制により、 $H_2O_2$  生成量が増加することを見出した。



**Fig. 1**. H<sub>2</sub>O<sub>2</sub> concentration after 3 h of light irradiation utilizing UiO-66-NH<sub>2</sub> and UiO-66-NH<sub>2</sub>-X.

- 1) Y. Isaka, Y. Kondo, Y. Kawase, Y. Kuwahara, K. Mori,
- H. Yamashita, Chem., Commun., 54, 9270 (2018)
- 2) A. De Vos, K. Hendrickx, P. Van Der Voort, V. Van Speybroeck, K. Lejaeghere, *Chem. Mater.*, **29**, 3006 (2017)

#### Nitrous oxide reduction at tin-modified platinum-palladium single crystalline electrodes

OJinhang Zheng<sup>1</sup> Masaru Kato<sup>1,2</sup> and Ichizo Yagi<sup>1,2\*</sup>

<sup>1</sup>Graduate School of Environmental Science, Hokkaido University <sup>2</sup>Faculty of Environmental Earth Science, Hokkaido University

#### 1. Introduction

As one of the important long-lived greenhouse gas, the increasing nitrous oxide (N2O) gas emission by human activity has become an environmental problem in recent years. 1) Among various removal methods, the electrochemical N2O reduction reaction (N2ORR) is an efficient method and can occur in mild conditions. It is proved that the N<sub>2</sub>O reduction activity strongly depends on both electrode materials and surface structure.<sup>2)</sup> In addition, electrochemical measurements at single crystalline electrodes, which can regulate the surface structure at the atomic level, are powerful to investigate the correlation between the surface structure and reaction activity. The electrocatalytic N<sub>2</sub>ORR activity of noble metals such as Pt is widely studied, and polycrystalline Pd gives the smallest overpotential for the N<sub>2</sub>ORR.<sup>2)</sup> Tin modification is considered as a promoter that can improve the catalytic activity at Pt or Pd surfaces for electrochemical nitrate reduction.<sup>3)</sup> However, there is a lack of studies on the effect of tin-coverage of noble metal electrodes on the electrochemical N<sub>2</sub>ORR.

In this work, Pd-Pt alloy (111) and (100) single crystalline electrodes are modified with different surface coverages of Sn and then used for the  $N_2ORR$  to discuss the impact of Sn-coverage on the  $N_2ORR$  activity.

#### 2. Experimental Details

All single crystalline electrodes were prepared by the Clavilier method.<sup>4)</sup> For the preparation of Pd–Pt alloy single crystal electrodes, 3 at% of Pd was added into the corresponding Pt single crystalline electrodes.<sup>3)</sup> To confirm the preparation of the single crystalline electrodes with a specific orientation, cyclic voltammograms (CVs) were recorded in a 0.5 M H<sub>2</sub>SO<sub>4</sub> solution under Ar.<sup>5)</sup> The catalytic activity of single crystalline electrodes for the N<sub>2</sub>ORR was evaluated by recording CVs in a 0.1 M HClO<sub>4</sub> solution at pH=1.0 under N<sub>2</sub>O. The electrodes were immersed in a 0.1 M HClO<sub>4</sub> solution containing 0.1 mM SnCl<sub>2</sub> to modify the surface of single crystalline electrodes with tin. The surface coverage of tin was controlled by controlling the immersion time from 5 to 30 s.

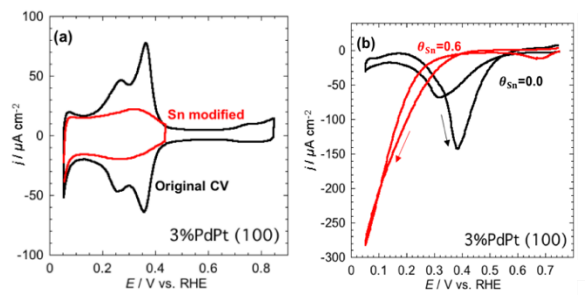
#### 3. Results & Discussion

A CV of Pd-Pt(100) under Ar showed a pair of peaks at 0.37 V vs RHE (Fig. 1a), which is associated with the adsorption and desorption of the underpotentially

deposited hydrogen,  $H_{upd}$  on (1x1)–Pt(100). This suggests that the (100) surface structure remains after the formation of 3 at%Pd-Pt(100) alloy. After tin modification, the current of the  $H_{upd}$  region decreased, which confirmed the tin modification at the electrode surface and the coverage of tin  $(\theta_{Sn})$  was calculated from  $H_{upd}$  charge densities before and after the tin-modification.

CVs of 3%Pd-Pt(100) with and without tin modification showed cathodic currents under  $N_2O$  (Fig. 1b), indicating the catalytic activity of  $N_2ORR$ . The tin-modified ( $\theta_{\rm Sn}$ =0.6) 3%Pd-Pt(100) electrode exhibited the sharply increased cathodic currents, suggesting that the tin-modification activated the 3%Pd-Pt (100) surface for the  $N_2ORR$ .

More details on the correlation between the  $N_2ORR$  activity and the different  $\theta_{Sn}$  at the Pd-Pt(100) and Pd-Pt(111) surfaces will be present in the presentation.



**Fig. 1**. CVs of unmodified (the black lines) and Sn-modified (the red lines) Pd-Pt (100) at (a) 50 mV s<sup>-1</sup> in an Ar-saturated 0.5 M  $\rm H_2SO_4$  aqueous solution and (b) 10 mV s<sup>-1</sup> in a  $\rm N_2O$ -saturated 0.1 M  $\rm HClO_4$  aqueous solution.

#### References

- 1) H. Tian et al., Nature, 586, 248 (2020).
- 2) A. Kudo, A. Mine, Appl. Surf. Sci., 121, 538 (1997).
- 3) M. Kato et al., J. Electroanal. Chem., 800, 46 (2017).
- 4) J. Clavilier, J. Electroanal. Chem., 107, 211 (1980).
- 5) D.J. Watson, G. Attard, Surf. Sci., 515, 87 (2002).

<sup>\*</sup>E-mail: iyagi@ees.hokudai.ac.jp